

テーパーのついたアーチの極限強度に関する研究

名古屋工業大学 正員 松浦 聖
泉工業 KK ○正員 増味敬一

1. まえがき

テーパーのついたアーチ、いわゆるバスケットハンドルタイプのアーチについて、これまで応力解析や弾性安定問題等が議論されて来たが、ここでは塑性解析によるアーチの極限耐荷力（崩壊荷重）が、アーチのライズ、断面およびテーパーの角度の変化と共にどのように変化するかを調べる。テーパーのついたアーチの断面力は、①アーチ面内曲げモーメント、②アーチ面外曲げモーメント、③軸力および④振りモーメントの4つに限る。この内②、④は①、③に比較してオーダー的に小さいので塑性崩壊条件としては、Case A ①②③と Case B ①③④の2組の場合にわけて考えることとする。なおアーチ断面は中実矩形とした。

2. 降伏限界面（近似降伏面）

Case A. 図1で $Y = \bar{\Psi}(X)$ を引張応力を圧縮応力を分ける面とするとき、

$$\begin{aligned} M_X &= \int_{-H}^H \left[\int_{-\bar{\Psi}(X)}^{\bar{\Psi}(X)} X(-\sigma_0) dY + \int_{\bar{\Psi}(X)}^{H-X} X(\sigma_0) dY \right] dX \\ M_Y &= \sigma_0 \int_{-H}^H X \cdot \bar{\Psi}(X) dX \\ N &= -2\sigma_0 \int_{-H}^H \bar{\Psi}(X) dX \end{aligned}$$

を得る。ここで与えられた M_X や N に対して M_Y を最大にするよう $\bar{\Psi}(X)$ を定めると次式を得る。

$$m_i + \frac{3}{4} m_e^2 + n^2 = 1$$

図1 (a)

$$m_e + \frac{3}{4} m_i^2 + n^2 = 1$$

図1 (b)

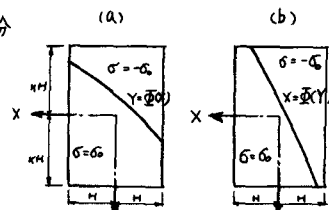


図1. アーチ断面

Case B.

$$m_i \sqrt{1-t^2} + n^2 + t^2 = 1$$

$m_i = M_i / M_{bi}$, $m_e = M_e / M_{be}$, $n = N / N_0$, $t = T / T_0$ ここで M_i , M_{bi} , N_0 , T_0 はそれぞれ降伏アーチ面内曲げモーメント、面外曲げモーメント、軸力、振りモーメントである。この Case A, B. に最も近い折面を図2のように32面体で表わす。これが近似降伏面である。

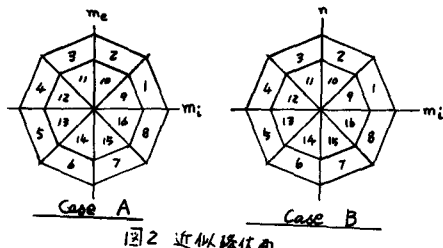


図2 近似降伏面

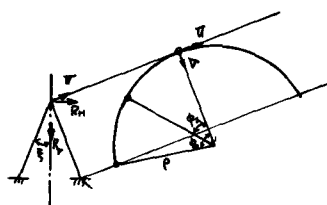


図3. ティンション

3. 崩壊荷重の決定

本論文における載荷状態は頂点剛結部に鉛直下向き集中荷重下とし、この時塑性ヒンジは頂点、支点およびその中間点に生じると考えられるので、この状態で最も可能な崩壊機構を推定して次式のような仮想変位を得る。

Case A.

$$U = -\alpha_1 P(1-\cos\phi_0) + \alpha_2 P(1-\cos\phi_2) - \Delta_1 \cos\phi_0 - \Delta_2 \cos\phi_2 - \frac{\Delta_3}{2}$$

$$V = -\alpha_1 P \sin\phi_0 + \alpha_2 P \sin\phi_2 + \Delta_1 \sin\phi_0 + \Delta_2 \sin\phi_2$$

$$W = \underline{\alpha}_1 P \tan\phi_0 - \underline{\alpha}_2 P \tan\phi_2$$

Case B.

U, V は Case A. と同じ。

$$W = \underline{\alpha}_1 P(1-\cos\phi_0)/\sin\phi_0 - \underline{\alpha}_2 P(1-\cos\phi_2)/\sin\phi_2$$

$$R_v = V \cos\xi - W \sin\xi$$

$$R_h = V \sin\xi + W \cos\xi$$

以上の結果にアーチのつりあい条件 $U = 0$, $R_h = 0$ を加えて仮想仕事の原理を適用するヒ崩壊荷重の上界を得る。

$$\text{外部仕事 } W_e = F \cdot R_v$$

$$\text{内部仕事 } W_i = M_o \cdot [2(m_{11}\phi_1 + m_{12}\phi_2 + n_1\lambda_1) + 2(m_{22}\phi_2 + m_{12}\phi_2 + n_2\lambda_2) + (m_{33}\phi_3 + m_{23}\phi_3 + n_3\lambda_3)] \quad \text{--- A.}$$

$$W_i = M_o \cdot [2(m_{11}\phi_1 + n_1\lambda_1 + t_1\psi_1) + 2(m_{22}\phi_2 + n_2\lambda_2 + t_2\psi_2) + (m_{33}\phi_3 + n_3\lambda_3 + t_3\psi_3)] \quad \text{--- B.}$$

ところが、この W_i を得るにはみたって塑性ヒンジが近似降伏面のどこに位置するかを仮定しなければならない。最も可能な仮定は、塑性ヒンジの生ずる断面 1, 2, 3 の断面力から決定して崩壊荷重を求める。この内の最小の値が真の崩壊荷重である。

4. 数値計算例

図3において $C = 3^m$, $f = 50, 37.5, 30 \text{ cm}$, $\xi = 0, 5, 15, 25, 35, 45^\circ$ 断面は $b = 10 \text{ cm}$, $b = 9, 12, 15 \text{ mm}$ 以上の組合せで実計算した結果が図4, 5 に示してある。

図4, 5 から明らかなように崩壊荷重に与えるテーオーの角度の影響が一番興味深い。即ち、Case A は単調な増加となるが B は逆に減少している。これは一方で面外曲げモーメント、他方で捩れモーメントを用いたからであって両断面力共小さくなる崩壊条件には少なからず影響を与えていくことがわかる。したがって今後は Case A, B を分けず4次元で考慮する必要がある。

なお、この解析と併行して数値計算で用いた dimension で実験を行ったが、結果は計算値の半分程度の値しか示さず、横倒ル座屈を観察するにとどまつたが、次回に大きな期待をもつておこう。

参考文献

P.G.Hodge Plastic Analysis of Structures, 1959

奥村・松浦 テーオーについてアーチに関する応力・変形解析 論文集 No.132

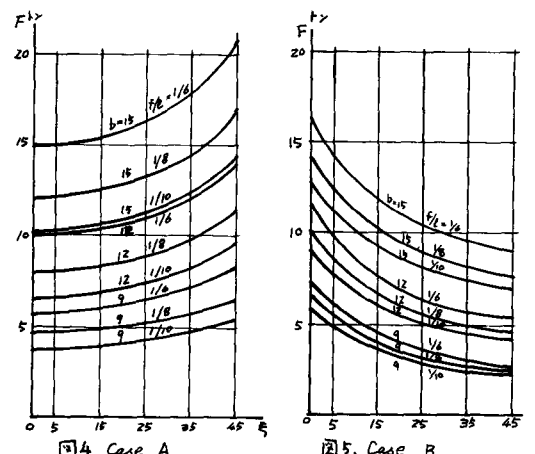


図4. Case A

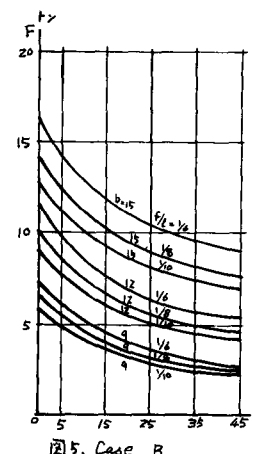


図5. Case B